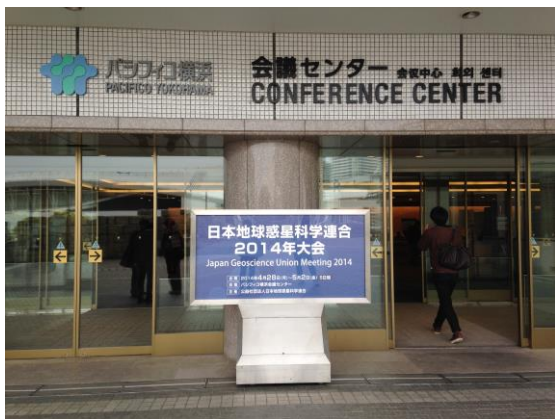


日本地球惑星科学連合 2014 年大会において研究発表をおこないました (2014/4/28-5/2)

場所：パシフィコ横浜会議センター（神奈川県横浜市）
大会 URL: <http://www.jpgu.org/meeting/index.htm>

2014 年 4 月 28 日(月)～5 月 2 日(金)に、日本地球惑星科学連合 2014 年大会がパシフィコ横浜会議センター(横浜市)にて開催されました(主催:公益社団法人日本地球惑星科学連合)。本学会は、例年は 5 月下旬に幕張メッセ国際会議場で開催されてきましたが、本年は約 1 ヶ月早く開催されました(来年度は幕張メッセにて 5 月 24～29 日に開催予定)。本大会は地球惑星科学の様々な分野に関連する約 4000 件の発表、約 7,000 人の参加がある日本最大の地球惑星科学関連の学会であり、50 学協会が加盟しています。

災害科学国際研究所からは、災害リスク研究部門、災害理学研究部門、情報管理・社会連携部門、寄附研究部門から、約 40 名の教員が、筆頭として 28 件、国内外の研究者との連名で 87 件、合計 115 件の発表を行いました。またその内、11 件が招待講演として発表され、1 件の発表がハイライト論文として取り上げられました。各発表のタイトルなどの詳細は下記のリストの通りです。



会場入り口の様子



今村所長の発表の様子

文責：岡田真介・飯沼卓史・和田育子（災害理学研究部門）

発表日	発表者(敬称略)	演題記号	発表タイトル(★は招待講演、◎はハイライト論文、*は筆頭著者)
4月28日	菅原, 今村	MTT41-P09	津波拳動と津波避難開始時の状況に関する可視化と、その津波防災啓発への有効性について
	土屋, 小原, 三澤	PEM09-07	* 磁気嵐・サブストーム時の高エネルギー電子降下現象:オーロラサブオーロラ域におけるVLF/LF電波伝搬観測
	三浦	SGD21-10	50HzサンプリングのGNSS観測によって取得された地震波動について
	和田	SIT04-01	★ * 北海道・東北日本沈み込み帯における温度構造:スラブの形状と斜め沈み込みの影響
	内田	SSS29-03	東北小線繰り返し地震発生領域を対象とした地震波エネルギー推定
	内田, 岡田(知)	SSS29-P04	高サンプリング地震波形を用いた小線繰り返し地震の波形相関解析
	趙	SSS30-04	* 2011年東北沖巨大地震域の地震波速度と減衰構造
4月29日	日野	SSS30-05	稠密海底地震計アレイ観測データを用いた2011年東北沖地震発生前後の震源南限域における地震活動に関する研究
	山崎	ACC31-04	2002年から2013年までのモンゴルTuul川上流域積雪調査による総積雪水量の経年変動
	池田	ACC31-P05	天山山脈とラダーク山脈の氷河湖と氷河湖決壊洪水
	久利	G04-02	* 大学による高校課題研究支援からみる高校地学:分野横断と統計学
	小原, 三澤, 土屋	MG137-P02	東北大学における電波観測ネットワーク
	土屋, 小原, 三澤土屋	MIS26-06	蔵王で観測された北陸冬季雷と関係する下部電離圏におけるLF波の乱調
	趙	SIT02-05	★ * 日本沈み込み帯の流体と地震
	趙	SIT03-06	* 長白山火山とその付近の深発地震との関係
	岡田(知)	SSS27-13	常時微動の相互相関テンソルのクロスチームを用いた実体波とレイリー波の分離
	今井, 今村	SSS30-35	延宝五年十月九日(1677-XI-7)房総沖地震津波の被災範囲
	丹羽, 遠田	SSS30-P08	* 段丘地形・沖積平野地下地質の特徴に基づいた三陸海岸南部・陸前高田の長期地殻変動
	今井, 今村	SSS34-01	安政三年七月二三日(1856-VII-23)北三陸沖地震の津波浸水高分布
	岡田(真), 今泉	SSS34-16	吉野ヶ里遺跡周辺の活断層
	今泉, 岡田(真)	SSS34-P05	* 立体地形解析図上の活断層と地形面
岡田(真), 今泉	SSS34-P08	* 山形盆地断層帯北部における反射法地震探査データ取得	
4月30日	岩淵	AAS22-04	日中韓露MAX-DOAS長期観測網によるNO2計測(2007-2012):OMI衛星データの系統的検証
	サッパシー, 保田, 安倍, 福谷, 今村	HSC03-03	* 東日本大震災当時における漁師の避難行動及び漁港の復興状況
	今井, 菅原, 今村	HSC03-04	A method to determine the area of tsunami inundation level 1 and level 2 for pre- and post-disaster situation
	日野	MIS33-01	東北地方太平洋沖地震前後の宮城県沖水深2000m以浅における海底の比較
	日野	MIS33-05	2011年東北地方太平洋沖地震の発生直後に震央域で観測された海底水温の急上昇について
	日野	MIS33-P02	精密温度計付き自己浮上式海底圧力計の開発
	土屋, 三澤	PEM06-P08	★ EISCAT 3Dによる惑星非熱的電波観測
	土屋	PEM06-P13	0.1-40kHz帯電磁波観測に基づいた海洋大陸における落雷の位置推定
	土屋	PEM07-09	★ AVONおよび日本のVLF/LFデータを用いた雷EMPIに関連したD領域電離圏変動
	土屋	PEM07-10	★ 1-100kHz帯電磁波観測と0.1-40kHz帯電磁界観測に基づいた落雷活動の監視
	土屋	PEM07-11	ELF波動観測に基づく雷放電電流の計測
	土屋, 三澤	PEM29-06	AMATERASで観測された太陽電波バーストのスペクトル微細構造とその生成機構
	三澤	PEM37-04	ディフューズオーロラに伴う相対論的電子降り込み
	三澤	PEM37-10	サブストームオンセット過程
	小原	PEM37-13	強い北向きIMF時変化するIMF Byによって発生するシートオーロラ
	土屋	PPS01-11	★ 地球周回からみた木星と金星
	三浦	SCG64-01	2013-2014年房総スロースリップイベントにおけるすべりと地震活動の時空間発展
	飯沼	SCG66-01	★ 東北日本島弧-海溝系の不均質粘弾性モデルの構築
	内田, 岡田(知)	SCG66-02	北海道下の3次元減衰構造:島弧-島弧衝突とM7クラス内陸大地震(その3)
	市来	SEM36-P06	東北日本沈み込み帯背弧地域における比抵抗構造
	中村	SEM37-P07	石垣島産化石ハマサンゴ骨格の岩石磁気学的・岩石学的特徴
	中村, 後藤	SEM37-P08	ネールの単磁区理論における磁鉄鉱の熱膨張の効果と放射性炭素年代との比較
	中村	SEM37-P12	* 野島断層ガウジ中の地震性熱乱流について:岩石磁気学的考察
	岡田(知)	SSS26-02	常時微動を用いた地震波干渉法による鳴子火山群周辺の3次元S波速度構造
	趙	SSS26-P10	関東・中部地方の内陸被害地震と構造不均質の関係
	岡田(知)	SSS31-09	2011年福島県浜通りの地震震源域の応力場:静的応力変化に起因すると推定される顕著な空間不均質
	遠田, 岡田(知)	SSS31-P01	2011年東北沖地震による2008年岩手・宮城内陸地震震余震域への静的応力降下と地震活動の低下
	飯沼	SSS31-P05	2011年東北沖地震後の東北日本弧の粘弾性変形過程のモデル化
	三浦, 山本	SSS33-06	* 蔵王山の火山活動に伴う地殻変動
	三浦	SSS33-P10	キネマティックPPP時系列解析によって得られた2011年東北地方太平洋沖地震の余効変動にともなう特徴的ひずみ分布
	中村	STT58-P02	無人航空機磁気探査をもとにしたデゼプション島北部の磁化構造
	日野	STT60-01	ハイパフォーマンスコンピューティングが拓く固体地球科学の未来:導入
日野	STT60-10	* ハイパフォーマンスコンピューティングが拓く固体地球科学の未来 一総合討論	
5月1日	山崎	ACG34-06	北極陸域変動モデル相互比較プロジェクトの概要
	坂巻	BBG21-P06	琉球列島宮古島の硬骨海綿の骨格記録
	サッパシー, 今村	HDS27-05	Disaster Warning System in Thailand through Enterprise Engineering Perspective
	三浦, 日野	HDS27-09	GEONETリアルタイム解析システム(REGARD)の全国対応
	今村	HDS27-13	天保14年(1843)根室沖地震津波の浸水高分布
	今井, 今村	HDS27-P03	観測に基づいた津波エネルギー減衰の周期依存性 - 2011年東北地方太平洋沖地震の事例 -
	マス, 趙村	HDS27-P07	* Simulation of tsunami inundation from future megathrust earthquake scenarios of Central Peru
	福谷, サッパシー, 今村	HDS27-P09	* 不均質すべり発生モデルを用いた津波波高の確率的解析と不確実性評価
	増田	HDS28-01	2011年東日本大震災の被災地企業アンケートデータから作成した産業の地震・津波レジリエンス曲線
	今泉	HQR24-02	東北日本弧, 山形盆地北部村山市浮沼における盆地地下堆積物とそれに含まれるテフラ
	土屋	PCG38-14	ひさき衛星とハッブル宇宙望遠鏡の協調観測で明らかになった木星の自動的オーロラ加速
	土屋	PCG38-20	◎ * HISAKI衛星搭載極端紫外分光撮像装置で観測されたイオプラズマトラスの空間分布と時間変動
	土屋	PCG38-21	EXCEEDによるイオプラズマトラス極端紫外観測
	三澤, 土屋, 小原	PCG38-24	木星磁気圏ダイナミクスに関する研究-II:内部磁気圏へのエネルギー輸送過程の解明
	土屋	PCG38-P11	恒星観測を用いたひさき衛星搭載EXCEEDの機上校正
	三澤, 土屋	PCG38-P13	2014年1月に行われた木星熱圏・放射線帯観測の初期解析結果
	三澤, 土屋	PCG38-P15	* 木星オーロラ電波の長期変動特性 - II
三澤	PEM27-01	マイクロType-III電波と外部コロナ域	

発表日	発表者(敬称略)	演題記号	発表タイトル(★は招待講演, ◎はハイライト論文, *は筆頭著者)	
5月1日	土屋	PEM27-P02	ひさき(SPRINT-A)衛星で観測される惑星間空間からの散乱光	
	三澤, 土屋, 小原	PEM27-P04	AMATERASによって観測された太陽電波II型バースト中のスペクトル微細構造	
	三澤, 土屋, 小原	PEM27-P05	AMATERASによって観測された太陽電波IV型バースト中のzebra patternの出現特性	
	三澤, 土屋	PEM29-P01	東北大学太陽電波望遠鏡AMATERASで観測された狭帯域太陽電波Type-IVバーストとその生成機構	
	市来	SIT40-01	広帯域MT法による地殻内流体の3次元分布解明	
	市来	SIT40-02	* 東北地方上部マントル沈み込み帯の3次元電気伝導度構造	
	市来	SIT40-05	地殻の電気伝導度はH ₂ O-NaCl流体で説明できるか?	
	日野	SIT40-P01	浅部ゆっくり地震活動と地殻流体に基づく地殻変動とプレート間固着の特徴とまとめ	
	市来	SIT40-P03	★ 磁場変換関数データによる九州地方の3次元比抵抗構造	
	王, 源榮	SSS23-P06	* 1次元システム同定のための地震波干渉法による建物応答からS波速度の抽出にむねじれと曲げ振動の影響	
	趙	SSS24-02	地形を考慮した準円筒座標系地震波伝播モデリング	
	日野	SSS24-05	長期海底地震計による2011年東北地震震源域北部の余震分布	
	日野, 東	SSS24-P04	長期海底地震観測で得られた2011年東北地方太平洋沖地震後の茨城・房総沖の地震活動	
	内田	SSS24-P08	伊豆-小笠原および琉球海溝沿いの繰り返し地震活動	
	5月2日	飯沼, 日野, 木戸	SSS32-06	★ * 海陸地殻変動観測に基づく2011年東北地方太平洋沖地震の余効変動モデル
		山本	SVC55-P06	* 東北地方太平洋沖地震以後の八甲田火山群の活動
三浦, 山本, 市来		SVC55-P25	桜島火山における反復地震探査(2013年)	
三浦, 山本, 市来		SVC55-P26	2013年桜島人工地震探査の概要と2008年実施探査との比較	
後藤, 菅原		MIS23-01	2011年東北沖津波により陸上に堆積した海洋生物起源バイオマーカー	
後藤		MIS23-07	2011年東北地方太平洋沖地震津波による仙台湾南部浅海域での土砂輸送	
菅原, 後藤		MIS23-10	* 宮城県石巻市鮫浦における2011年東北沖津波および古津波による堆積物とその形成過程	
石村		MIS23-11	* 三陸海岸における古津波堆積物の認定とその年代: 岩手県山田町小谷島トレンチ調査	
後藤, 菅原		MIS23-12	* 岩手県野田村における津波堆積物調査に基づく三陸地方北部の津波履歴の検討	
後藤, 菅原		MIS23-14	日本海溝沿いで発生した津波地震の規模推定 —1677年延宝房総沖地震津波の再評価—	
後藤, 菅原		MIS23-P06	仙台湾沿岸における津波の浸水限界と津波砂層の分布限界との関係性の解明	
中村		PPS23-P08	★ かがや衛星観測データに基づく雨の海の地下層の年代決定	
中村		PPS25-13	電子線ホログラフィーによるフランボイダルマグネタイトの磁場構造と生成過程の解明	
石渡		SCG61-05	ロシア極東, ウスチペラヤ, オフィオライトの2つのタイプのウェブステライト; その起源と意義	
石渡		SCG61-06	溶岩中の板状節理の形成メカニズムに関する野外地質学的考察	
石渡		SCG61-P04	御斎所変成岩中に露出する超苦鉄質岩の岩石学: 御斎所変成岩は沈み込み帯域オフィオライトか?	
和田		SCG62-13	* 鉱物の粒径分布が及ぼすマントルウェッジ内の水の流動パターン	
木戸, 日野, 飯沼, 東, 和田		SCG67-13	* 受託研究「海底地殻変動観測の高度化」における東北大学の研究成果	
木戸, 東, 日野, 飯沼, 和田		SCG67-14	海底地殻変動観測による東北地方太平洋沖地震の余効変動検出	
木戸, 日野, 飯沼		SCG67-15	海底地殻変動観測を用いた巨大地震発生域の固着回復過程の解明	
木戸, 日野	SCG67-16	高潮流域下におけるリアルタイム津波・地殻変動観測システムの海域試験		
木戸	SCG67-P01	リアルタイム津波・地殻変動観測システムを用いた海底地殻変動観測		
東, 飯沼, 日野, 木戸, 和田	SCG67-P03	* 海底地殻変動データ解析の高精度化・自動化に向けた測距信号走時読み取り手法の検討		
趙	SIT39-P05	全マントルP波鉛直異方性トモグラフィー		
石渡	SMP48-08	宮城県岩沼市に見られる玄武岩質安山岩複合溶岩流の内部分化過程: 分結脈から柱状節理へ		
岡田(知)	SSS28-04	人間以上に高精度の地震波自動読み取りシステムの開発(その6)		
岡田(知)	SSS35-03	三成分アレイを用いた微動の構成成分の推定: 遠野アレイにおける結果		
今村	U08-15	★ * 東日本大震災の教訓と減災に向けての研究展望		